

## ارزیابی عملکرد فرایند الکتروفتون در حذف COD و رنگ راکتیو بلو ۱۹ از

### محلول آبی

محمد ملکوتیان<sup>۱</sup>، مهدی اسدی<sup>۲</sup>، امیرحسین محوی<sup>۳</sup>

نویسنده مسئول: کرمان، ابتدای بزرگراه هفت باغ علوفی، دانشگاه علوم پزشکی کرمان، دانشکده بهداشت، گروه بهداشت محیط.  
[m.malakootian@yahoo.com](mailto:m.malakootian@yahoo.com)

چکیده

دریافت: ۹۰/۰۱/۱۷

پذیرش: ۹۰/۰۳/۲۸

**زمینه و هدف:** رنگ‌های سنتیک از آلاینده‌های متداول در فاضلاب‌های صنایع رنگرزی هستند. تخلیه این فاضلاب‌ها به درون آب‌های پذیرنده علاوه بر جنبه‌های زیباشناختی، ایجاد مشکلات جدی زیست محیطی و کاهش فعالیت فتوسترن محیط‌های آبی می‌نماید. فرایند‌های اکسیداسیون پیشرفت‌های الکتروشیمیایی از جمله فرایند الکتروفتون بهره‌برداری ساده و قدرت بالایی در معالجی سازی آلاینده‌ها دارند. در این مطالعه، عوامل موثر بر عملکرد این فرایند با هدف تعیین شرایط بهینه جهت حذف رنگ و COD از محلول آبی حاوی رنگ ۱۹ Reactive Blue ۱۹ مورد بررسی قرار گرفت.

**روش بررسی:** نمونه‌های سنتیک حاوی رنگ ۱۹ Reactive Blue با استفاده از پودر رنگ و آب مقطر دوبار تقطیر تهیه و به سلول پایلوت الکتروشیمیایی که دارای دو الکترود آند و کاتد از جنس آهن و کربن بود منتقل گردید. با افزودن یون‌های  $\text{Fe}^{2+}$  به نمونه و برقراری اختلاف پتانسیل الکتریکی، فرایند الکتروفتون آغاز گردید. پس از آن و در زمان‌های مشخص از سلول پایلوت الکتروشیمیایی نمونه برداری انجام و با اندازه گیری غلظت رنگ و میزان COD، کارایی فرایند بررسی گردید.

**یافته‌ها:** شرایط بهینه عملکرد فرایند الکتروفتون در حذف رنگ و COD بر اساس نتایجی که حاصل شد شامل: اختلاف پتانسیل الکتریکی  $207 \text{ mg/L}$  برای غلظت رنگ تا  $100 \text{ mg/L}$  و اختلاف پتانسیل  $30 \text{ mV}$  برای غلظت رنگ  $200 \text{ mg/L}$  به بالا، زمان واکنش  $200 \text{ min}$ ، غلظت  $0.5 \text{ mg/L}$  یون آهن II و pH مناسب جهت بالاترین درصد حذف برابر  $4$  به دست آمد. در این شرایط، حذف  $100\%$  رنگ و  $95\%$  COD حاصل شد.

**نتیجه‌گیری:** بر اساس نتایج به دست آمده مشخص گردید که فرایند الکتروفتون علاوه بر حذف رنگ، توانایی کاهش چشم‌گیر COD را دارد. برای اساس اختلاف پتانسیل الکتریکی، غلظت یون‌های آهن و زمان الکترولیز، پارامترهای موثر بر کارایی فرایند الکتروفتون در حذف رنگ ۱۹ Reactive Blue ۱۹ هستند.

**واژگان کلیدی:** فرایند الکتروفتون، اکسیداسیون پیشرفت، رنگ ۱۹ Reactive Blue ۱۹، اختلاف پتانسیل الکتریکی

۱- دکترای بهداشت محیط، استاد مرکز تحقیقات و بهداشت محیط، دانشگاه علوم پزشکی کرمان

۲- دانشجوی کارشناسی ارشد بهداشت محیط، دانشکده بهداشت، دانشگاه علوم پزشکی کرمان

۳- دکترای بهداشت محیط، استادیار دانشکده بهداشت، دانشگاه علوم پزشکی تهران

## مقدمه

رنگی جزو رنگ‌های آنتراکوینون (Anthraquinone) بوده و در برابر فرایند اکسیداسیون شیمیایی بسیار مقاوم است (۷). تصفیه رضایت‌بخش فاضلاب‌های رنگرزی بدلیل تنوع زیاد در ترکیبیشان، شدت رنگ و میزان COD بالا، نسبت به آب‌های رنگی طبیعی بسیار مشکل است (۸). روش‌های متداول فیزیکی و شیمیایی مانند جذب برای حذف رنگ از این فاضلاب‌ها مورد استفاده قرار گرفته‌اند که اغلب غیر تخریب‌کننده، غیر موثر و گران هستند و اغلب منجر به تولید حجم زیاد لجن می‌شوند که خود مشکلات تصفیه و دفع لجن را در پی دارد (۳). از فرایندهای اکسیداسیون پیشرفت‌های فرایند فنتون روشی بسیار موثر دارای گونه‌های با قدرت اکسیدکنندگی بسیار قوی است که شامل مخلوطی اسیدی از هیدروژن پراکساید و یون‌های  $\text{Fe}^{2+}$  است و به دلیل کارایی اکسیداسیون بالا اغلب آلاینده‌های آلی مقاوم را تخریب می‌نمایند (۹). به دلیل مصرف مقادیر زیاد مواد شیمیایی، تشکیل مقادیر زیاد لجن آهن III و همچنین مشکلات ذخیره و حمل و نقل هیدروژن پراکساید غلیظ، کاربرد این روش با محدودیت مواجه شده است (۸). جهت حل این مشکلات، فرایند اکسیداسیون پیشرفت‌های الکتروشیمیایی مورد استفاده قرار گرفتند که اکسیداسیون آندیک و فرایند الکتروفنتون متداول‌ترین این فرایندها هستند (۱۰). دلیل ترکیب نمودن فرایند تولید الکتروشیمیایی  $\text{H}_2\text{O}_2$  و فرایند فنتون، افزایش ظرفیت اکسیداسیون هر کدام از این دو فرایند درون یک سیستم که اثر تشدیدکنندگی بر روی همدیگر دارند و همچنین رفع مشکلات فرایند فنتون متداول است (۲ و ۳). از جمله مزایای آنها هزینه بهره‌برداری پایین، پتانسیل بالا در تخریب و حذف کامل آلاینده‌های آلی و تبدیل آنها به ترکیبات بی‌ضرر مانند  $\text{CO}_2$ ، آب و نمک‌های معدنی در مقایسه با فرایندهای شیمیایی و فتوشیمیایی است (۱۱ و ۱۰). فرایند الکتروفنتون بر بنای تولید الکتروشیمیایی غیر مستقیم و در محل رادیکال‌های هیدروکسیل عمل می‌نماید. رادیکال‌های هیدروکسیل دومین اکسیدکننده قوی ( $E^{\circ} = 2.87 \text{ V}$ ) بعد از یون‌های فلوراید ( $E^{\circ} = 3.06 \text{ V}$ ) هستند (۱۲). در این فرایند ابتدا اکسیژن به فاز محلول منتقل می‌شود سپس به سطح کاتد جذب و در نهایت در محیط اسیدی به طریق الکتروشیمیایی به

وجود رنگ در آب نتیجه وجود مواد رنگی طبیعی و یا ورود فاضلاب‌های رنگی صنعتی به آب‌هاست (۱). رنگ‌های سنتیک از آلاینده‌های متداول موجود در فاضلاب‌های صنعتی است. صنایع نساجی و رنگرزی از مهم‌ترین مصرف‌کنندگان رنگ‌های سنتیک و مواد شیمیایی جهت فرایندهای رنگرزی هستند (۲ و ۳). غلط‌تی مواد رنگی در فاضلاب این صنایع نسبت به دیگر مواد شیمیایی کمتر است اما شدت رنگ این فاضلاب‌ها به دلیل وجود مواد رنگی باقی مانده در فاضلاب این صنایع به حدی بالاست که حتی در غلط‌تی‌های بسیار پایین قابل رویت است (۴). از ویژگی‌های شاخص فاضلاب‌های رنگی تولید شده در صنعت نساجی، شدت رنگ بالا، درخشندگی، قابلیت رویت رنگ در غلط‌تی‌های بسیار پایین، ساختار شیمیایی متنوع، مقاومت آنها در برابر نور و مواد شیمیایی و بعض‌اً غیر قابل تجزیه بیولوژیکی بودن آنها و دامنه pH متغیر است که آنها را در برابر تجزیه بیولوژیکی مقاوم می‌سازد (۴ و ۵). برخی از انواع رنگ‌ها به ویژه رنگ‌های آزو ممکن است سرطان‌زا و جهش‌زا باشند (۵). در سال‌های اخیر استفاده وسیع از رنگ‌های راکتیو به ویژه رنگ‌های دارای گروه‌های آزو باعث تاثیر بر روی روش‌های متداول تصفیه فاضلاب‌های نساجی شده است (۶). رنگ‌های راکتیو سولفوناته، آئیونی و بسیار محلول در آب بوده نسبت به نور و عوامل شیمیایی مقاوم بوده و در محیط‌های طبیعی بسیار پایدارند و جذب آنها برروی توده‌های بیولوژیکی ضعیف است و عمده‌تا دارای قابلیت تجزیه بیولوژیکی ضعیف در شرایط هوایی هستند (۷). در ترکیب شیمیایی رنگ‌های راکتیو برای بالا بردن درجه تثیت رنگ مقادیر زیادی نمک و اوره (به ترتیب  $60 \text{ gr/L}$  و  $200 \text{ gr/L}$ ) وجود دارد به همین جهت،  $10\% - 50\%$  رنگ با الیاف واکنش نمی‌دهد و به صورت هیدرولیز شده در فاز آب باقی می‌ماند. بنابراین هنگام استفاده از این رنگ‌ها پساب رنگی با شدت رنگ بالا ایجاد خواهد شد (۶ و ۷). بنابراین دفع آنها به درون آب‌های پذیرنده نه تنها به روی جنبه‌های زیباشناختی تاثیر می‌گذار بلکه ایجاد مشکلات جدی زیست محیطی از طریق جلوگیری از انتقال و جذب نور خورشید درون جریان‌های آبی و کاهش فعالیت فتوسترات محیط‌های آبی می‌نماید (۷ و ۴). رنگ راکتیو بلو RB19 (۱۹) از نظر نوع عامل

از روش‌های دیگر مورد مطالعه در حذف رنگ نیز می‌توان به حذف رنگ Methylene Blue از فاضلاب سنتیک با استفاده از خاکستر استخوان (۱۹)، تجزیه فتوکاتالیستی رنگ به کمک نانوذرات اکسید روی (۲۰)، حذف رنگ از محیط آبی توسط جذب سطحی برروی نانوپیوب‌های کربنی تک دیواره (۲۱) و فرایندهای فتوولیز و التراسونولیز (۲۲) اشاره نمود. از جمله مطالعاتی که برروی حذف رنگ RB19 انجام گردیده است می‌توان به تجزیه الکتروشیمیایی RB19 در محلول‌های حاوی کلراید (۱۵) و حذف رنگ RB19 از راکتور بسته متوالی به وسیله افزودن پلی آلومینیوم کلراید (۲۳) اشاره نمود. هدف از انجام این مطالعه، ارزیابی عملکرد فرایند الکتروفتون در حذف رنگ و COD از محلول‌های آبی و یافتن شرایط بهینه حذف رنگ و COD به وسیله این فرایند است.

## مواد و روش‌ها

### وسایل و مواد آزمایش

سلول الکتروشیمیایی استوانه‌ای، دارای حجم mL ۵۰۰ و دارای دو الکترود میله‌ای آند از جنس آهن و کاتد از جنس کربن گرافیت با قطر mm ۱۳ cm عو طول cm ۶ و با فاصله cm ۶ از هم قرار داشتند که به دستگاه تولید الکتریستیته (DC power) متصل گردید. در شکل ۱ شماتیک پایلوت سلول الکتروشیمیایی فرایند الکتروفتون نشان داده شده است. اندازه‌گیری جذب نور توسط دستگاه Spectrophotometer UV-Vis (Philips Model) PU 8740 و تنظیم pH نمونه‌ها توسط pH متر (متروم مدل ۶۹۱) انجام شد. جهت اندازه‌گیری COD نمونه‌ها از دستگاه پرتابل اندازه‌گیری COD مدل (Hunna instrument) استفاده گردید. کلیه نمودارها نیز با استفاده از نرم افزار Excel رسم گردید. جهت تنظیم pH نمونه‌ها از H<sub>2</sub>SO<sub>4</sub> و NaOH با غلاظت M ۰/۱ استفاده گردید. از سولفات آهن هفت آبه و سولفات سدیم ساخت شرکت Merck آلمان جهت انجام آزمایشات استفاده گردید و پودر رنگ مورد استفاده نیز ساخت شرکت Dystar آلمان بود.

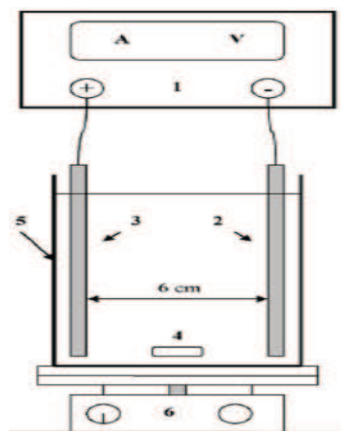
### دامنه متغیرهای مورد بررسی

انجام آزمایشات در سه محدوده pH قلیایی (۱۰)، خشی

H<sub>2</sub>O<sub>2</sub> احیاء می‌شود (۸). در طی این فرایند هیدروژن پراکساید و یون‌های فرو (Fe<sup>2+</sup>) در محیط واکنش به طور هم‌زمان به وسیله احیاء الکتروشیمیایی مولکول‌های اکسیژن محلول و یون‌های فریک (Fe<sup>3+</sup>) افزوده شده به محیط واکنش در سطح کاتد تولید می‌شوند (۹ و ۱۳).



با شروع واکنش‌ها و الکترولیز آب در آند (واکنش ۱)، در کاتد واکنش‌های احیاء اکسیژن صورت می‌گیرد که طی آن H<sub>2</sub>O<sub>2</sub> نیز تولید می‌شود (واکنش ۲). با افزودن یون‌های فرو به نمونه نیز در کاتد، یون‌های فریک تولید می‌شود (واکنش ۳) و به این ترتیب با واکنش H<sub>2</sub>O<sub>2</sub> با یون‌های Fe<sup>2+</sup> مطابق واکنش ۴، در کاتد رادیکال‌های آزاد هیدروکسیل تولید می‌شود و اکسیداسیون شیمیایی آغاز می‌گردد (۱۴). احیاء الکتروشیمیایی اکسیژن به میزان زیادی به جنس ماده کاتد بستگی دارد. تاکنون از مواد مختلفی مانند کربن، گرافیت، mercury pool و الکترودهای منتشرکننده گاز (gas-diffusion electrode) استفاده شده است. الکترودهای پایه کربنی دارای کارایی مناسبی در تولید H<sub>2</sub>O<sub>2</sub> هستند (۸). میزان تولید هیدروژن پراکساید با پتانسیل استاندارد اکسیداسیون برابر V ۰/۸۷ و در pH‌های برابر صفر و ۱۴ نقش مهمی را در کارایی تصفیه با فرایند الکتروفتون دارد. قدرت اکسیدکنندگی آن به میزان زیادی با اضافه نمودن یون‌های Fe<sup>2+</sup> تولید شده از واکنش فنتون افزایش می‌یابد (۳ و ۸). تاکنون مطالعات مختلفی بر روی فرایند الکتروفتون انجام شده است که برخی از آنها شامل حذف رنگ از فاضلاب‌های رنگی واقعی تولیدی از صنایع رنگرزی (۸)، تصفیه فاضلاب‌های رنگی سنتیک حاوی رنگ‌های Acid Yellow 36 (۲)، Methyl Red (۳) و Acid red 14 (۱۸)، حذف Reactive black 5 (۱۷)، Acid red 14 (۱۸) و TOC (۱۰)، حذف Cllobromuron (۱۰)، حذف prophan از آب (۱۰)، حذف نیترات و آبی (۹)، حذف Cllobromuron از آب (۱۰)، حذف نیترات و آبی (۱۱)، حذف فنل و ۴-نیتروفنل از محیط‌های آبی (۱۲ و ۱۳) و مطالعه سمیت diuron (۱۴) هستند.



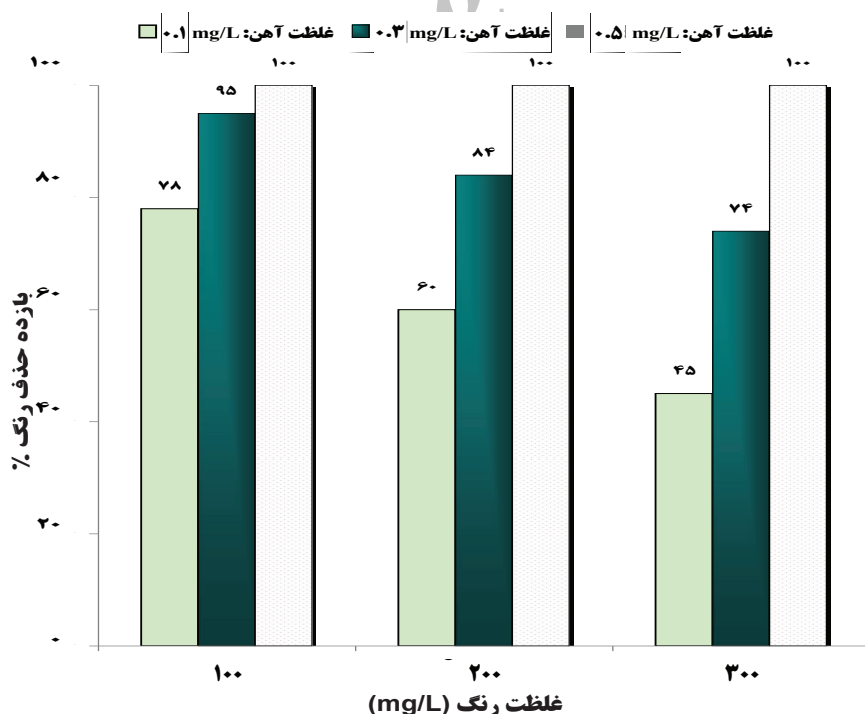
١. منبع تولید انرژی الکتریکی
٢. الکترود کاتد(کربن)
٣. الکترود آند(آهن)
٤. آهنربای مغناطیسی
٥. سلول الکتروشیمیایی
٦. همزن مغناطیسی

شکل ۱: طرح شماتیک سلول الکتروشیمیایی فرایند الکتروفنتون

#### آماده سازی نمونه‌ها

نمونه‌های ستنتیک با استفاده از پودر رنگ راکتیو بلو ۱۹ (RB19) و با سه غلظت  $100\text{ mg/L}$ ,  $200\text{ mg/L}$  و  $300\text{ mg/L}$  با استفاده از آب مقطر دوبار تقطیر تهیه شد. سپس pH نمونه‌ها در یکی از سه محدوده مورد آزمایش، تنظیم گردید. برای رسم نمودار منحنی استاندارد ابتدا با استفاده از پودر رنگ غلظت‌های مختلف و مشخصی از محلول رنگی آماده و میزان جذب آنها با استفاده

(۷) و اسیدی (۴)، غلظت آهن مصرفی در سه محدوده  $0.1\text{ mg/L}$ ,  $0.3\text{ mg/L}$  و  $0.5\text{ mg/L}$  زمان انجام واکنش در ۴ سطح محدوده متفاوت  $5\text{ min}$ ,  $10\text{ min}$ ,  $15\text{ min}$  و  $30\text{ min}$  اختلاف پتانسیل الکتریکی در سه غلظت متفاوت  $100\text{ mg/L}$ ,  $200\text{ mg/L}$  و  $300\text{ mg/L}$  میزان نیز در این میان تاثیر پارامترهایی چون ولتاژ سلول، غلظت ماده اکسیدان، pH محلول، و زمان الکتروولیز در راهبری فرایند تعیین گردید.



شکل ۲: تاثیر غلظت یون‌های آهن بر کارایی حذف رنگ  
(شرط آزمایش: زمان  $30\text{ min}$ ,  $\text{pH}=4$ , اختلاف پتانسیل  $7\text{ V}$  و غلظت‌های رنگ  $100\text{ mg/L}$ ,  $200\text{ mg/L}$  و  $300\text{ mg/L}$ )

هیچ تعویضی صورت نگرفت. COD نمونه‌ها نیز قبل و بعد از انجام فرایند به وسیله دستگاه اندازه‌گیری COD پرتابل اندازه‌گیری و میزان حذف COD نیز محاسبه گردید.

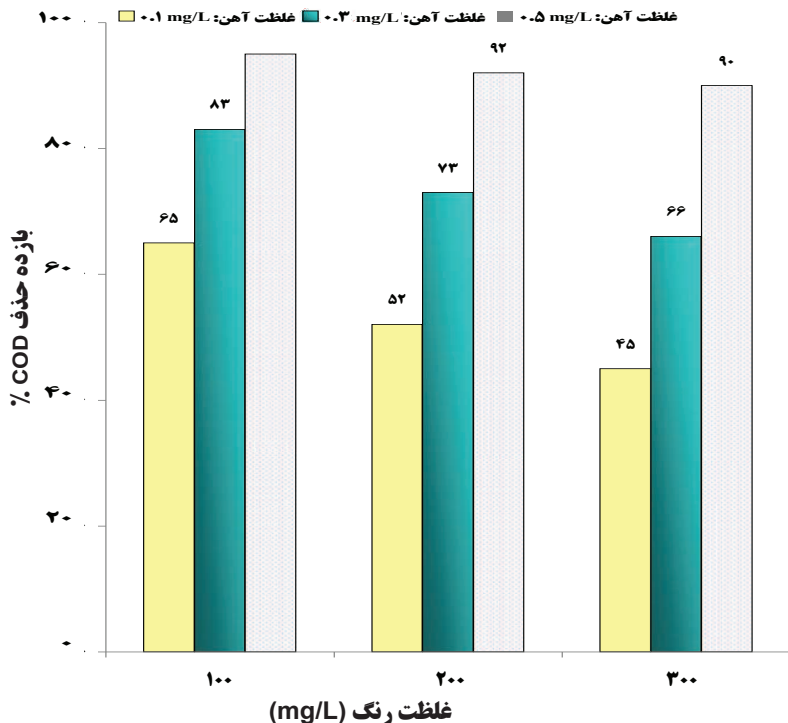
**روش اندازه‌گیری غلظت یون آهن**  
غلظت یون آهن با استفاده از روش رنگ‌سنجی فناورولین مطابق با روش‌های استاندارد آزمایش‌های شیمیایی آب و فاضلاب تعیین گردید.

### یافته‌ها

در بررسی نتایج به دست آمده از تاثیر هر کدام از پارامترهای موثر بر عملکرد فرایند، تنها تاثیر همان پارامتر در دامنه‌های مختلف ذکر گردیده و دامنه بقیه پارامترها به صورت ثابت در نظر گرفته شده است.

#### تاثیر غلظت یون‌های $\text{Fe}^{2+}$

شکل ۲ و ۳ تاثیر غلظت یون‌های آهن بر کارایی حذف رنگ و COD در زمان  $60 \text{ min}$ ،  $\text{pH}=4$ ، اختلاف پتانسیل  $V=30$  و غلظت‌های رنگ  $100$ ،  $200$ ،  $300$  و  $400 \text{ mg/L}$  را نشان می‌دهد.

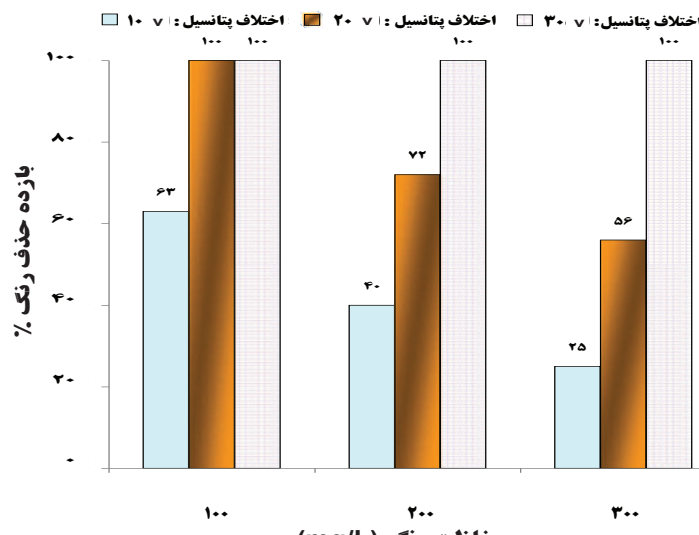


شکل ۳: تاثیر غلظت یون‌های آهن بر کارایی حذف COD

(شرایط آزمایش: زمان  $60 \text{ min}$ ،  $\text{pH}=4$ ، اختلاف پتانسیل  $V=30$  و غلظت‌های رنگ  $100$ ،  $200$ ،  $300$  و  $400 \text{ mg/L}$ )

از دستگاه اسپکتروفوتومتر و در طول موج  $550 \text{ nm}$  خوانده و منحنی استاندارد جهت هر سه غلظت رنگ، رسم گردید.

**روش انجام آزمایش:** کلیه آزمایشات در دمای آزمایشگاه و بر اساس روش‌های استاندارد آزمایش‌های شیمیایی آب و فاضلاب چاپ بیستم انجام گردید (۲۴). ابتدا نمونه فاضلاب تهیه شده درون سلول الکتروشیمیایی منتقل و سپس جهت شروع واکنش‌های فرایند الکتروفوتون، ماده کاتالیزور  $\text{Fe}^{2+}$  در محدوده تعیین شده به نمونه اضافه گردید. جهت بالا بردن قدرت یونی و افزایش هدایت الکتریکی محلول، ماده الکترولیت سولفات سدیم ( $\text{Na}_2\text{SO}_4$ ) و به مقدار ثابت  $0.05 \text{ mol}$  به تمام نمونه‌ها افزوده شد. سپس با برقرار نمودن جریان الکتریکی، عمل الکترولیز محلول آغاز و به این ترتیب، واکنش اکسیداسیون الکتروفوتون آغاز شد. بعد از آن در زمان‌های مشخص شده، از سلول الکتروشیمیایی نمونه لازم برداشت و حداقل میزان جذب نور در نمونه‌ها در طول موج  $550 \text{ nm}$  در نیز اندازه‌گیری و با استفاده از منحنی استاندارد، غلظت رنگ در نمونه‌های تصفیه شده مشخص و درصد حذف رنگ محاسبه شد. هر دو الکترود آهن و کربن در تمام آزمایشات ثابت و



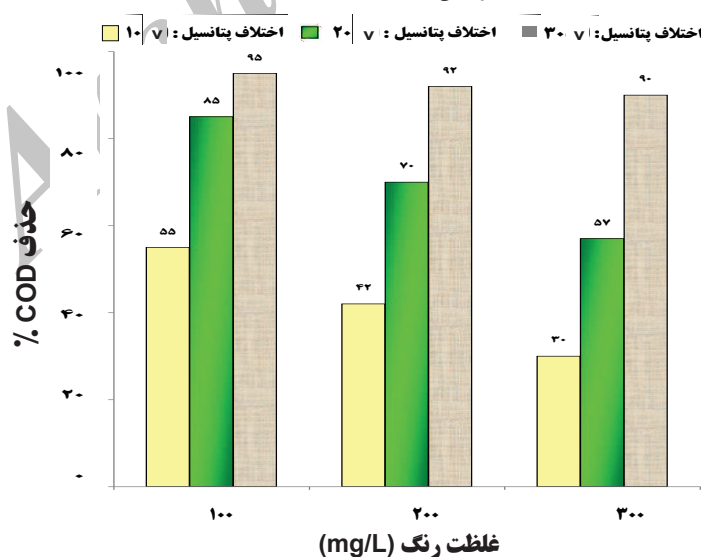
شکل ۴: تاثیر ولتاژ سلول بر کارایی حذف رنگ

(شرایط آزمایش: زمان ۶۰ min، pH=۴، غلظت یون‌های آهن ۰/۵ mg/L و غلظت رنگ ۱۰۰، ۲۰۰ و ۳۰۰ mg/L)

غلظت یون‌های آهن  $0/5 \text{ mg/L}$ ، حداقل حذف رنگ و COD برابر  $100\%$  حاصل شد.

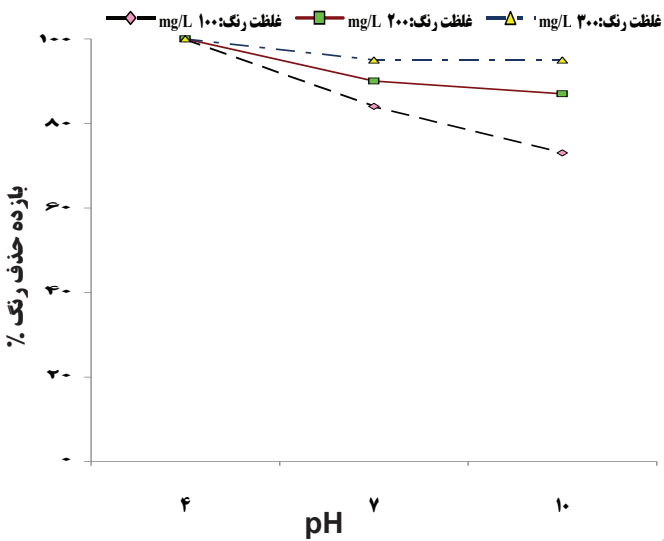
تاثیر ولتاژ سلول الکتروشیمیایی شکل ۴ و ۵ تاثیر ولتاژ سلول بر کارایی حذف رنگ و COD در زمان  $60 \text{ min}$ ،  $\text{pH}=4$ ، غلظت یون‌های آهن  $0/5 \text{ mg/L}$  و غلظت‌های رنگ  $100$ ،  $200$  و  $300 \text{ mg/L}$  را نشان می‌دهد. همان‌طور که مشاهده می‌شود، با افزایش اختلاف پتانسیل، میزان حذف رنگ به میزان چشمگیری افزایش می‌یابد. در اختلاف پتانسیل پایین ( $V$ )، برای هیچ کدام از غلظت‌های

نتایج مطالعه نشان داد که با افزایش غلظت یون‌های آهن، میزان حذف رنگ و COD افزایش می‌یابد. هم‌چنان با افزایش غلظت رنگ و در غلظت ثابت یون‌های آهن، کارایی فرایند کاهش می‌یابد. در این مطالعه مشاهده گردید در غلظت یون‌های آهن  $0/1 \text{ mg/L}$  و تحت شرایط بهینه، میزان حذف رنگ و COD پایین است. در غلظت  $0/3 \text{ mg/L}$  یون‌های آهن و در غلظت‌های رنگ  $100$ ،  $200$  و  $300 \text{ mg/L}$ ، حذف  $95\%$  رنگ و  $83\%$  COD در غلظت رنگ  $300 \text{ mg/L}$  و  $200 \text{ mg/L}$  نیز حذف  $84\%$  و  $73\%$  رنگ و  $66\%$  COD به دست آمد. با افزایش



شکل ۵: تاثیر ولتاژ سلول بر کارایی حذف COD

(شرایط آزمایش: زمان ۶۰ min، pH=۴، غلظت یون‌های آهن  $0/5 \text{ mg/L}$  و غلظت رنگ  $100$ ،  $200$  و  $300 \text{ mg/L}$ )



شکل ۶: تاثیر pH محلول بر کارایی حذف رنگ

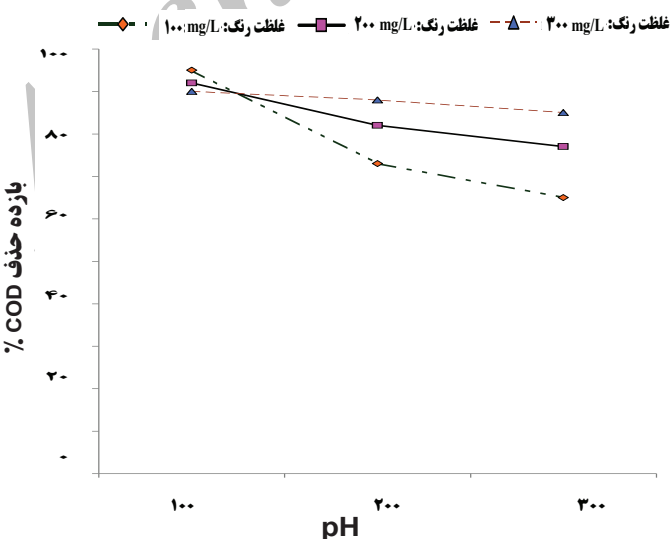
(شرایط آزمایش: زمان ۶۰ min، اختلاف پتانسیل ۷، غلظت یون‌های آهن ۰/۵ mg/L و غلظت‌های رنگ ۱۰۰، ۲۰۰، ۳۰۰ و ۴۰۰ mg/L)

نشان می‌دهد. به منظور بررسی اثر pH در میزان حذف رنگ و COD، نمونه‌های حاوی رنگ در سه محدوده pH مورد آزمایش قرار گرفتند. بر اساس نتایج به دست آمده مشخص گردید که کارایی فرایند در  $pH=4$  نسبت به pH های قلیایی بالاتر است. با افزایش غلظت رنگ مطابق شکل‌های ۶ و ۷ شبیه نمودار کاهش می‌باید و در غلظت‌های بالاتر رنگ، اختلاف میزان حذف رنگ و COD در pH های قلیایی نسبت به pH های اسیدی کاهش کمتری را نشان می‌دهد.

رنگ حداکثر حذف رنگ و COD به دست نمی‌آید. در اختلاف پتانسیل ۷، در نمونه با غلظت ۱۰۰ mg/L رنگ، حذف ۱۰۰٪ COD به دست نمی‌آید و برای غلظت‌های بیشتر رنگ بازده حداکثری به دست نمی‌آید. در اختلاف پتانسیل ۳۰ V در تمام غلظت‌ها حذف حداکثری رنگ و COD به دست آمد.

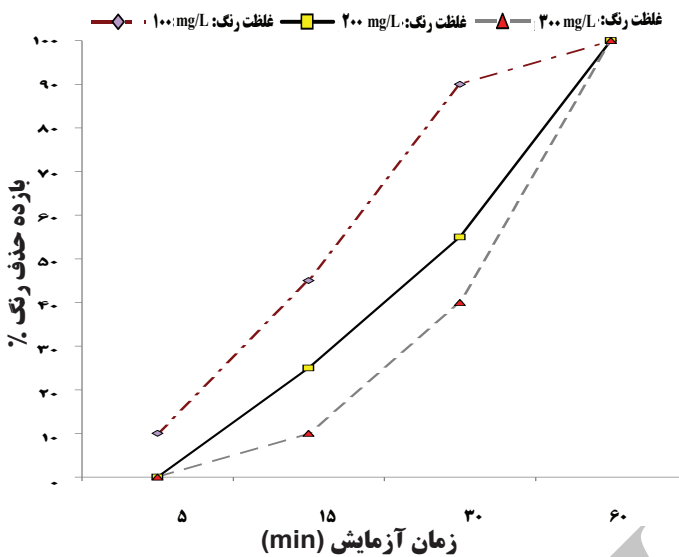
#### تأثیر pH محلول

شکل ۶ و ۷ تاثیر pH محلول بر کارایی حذف رنگ و COD در زمان ۶۰ min، اختلاف پتانسیل ۷، غلظت یون‌های آهن ۰/۵ mg/L و غلظت‌های رنگ ۱۰۰، ۲۰۰، ۳۰۰ و ۴۰۰ mg/L



شکل ۷: تاثیر pH محلول بر کارایی حذف COD

(شرایط آزمایش: زمان ۶۰ min،  $pH=4$ ، اختلاف پتانسیل ۷، غلظت یون‌های آهن ۰/۵ mg/L و غلظت‌های رنگ ۱۰۰، ۲۰۰، ۳۰۰ و ۴۰۰ mg/L)



شکل ۸: تاثیر زمان واکنش بر کارایی حذف رنگ

(شرایط آزمایش:  $pH=4$ ، اختلاف پتانسیل  $7\text{V}$ ، غلهٔ یون‌های آهن  $5\text{mg/L}$  و غلهٔ رنگ  $100\text{, }200\text{ و }300\text{ mg/L}$ )

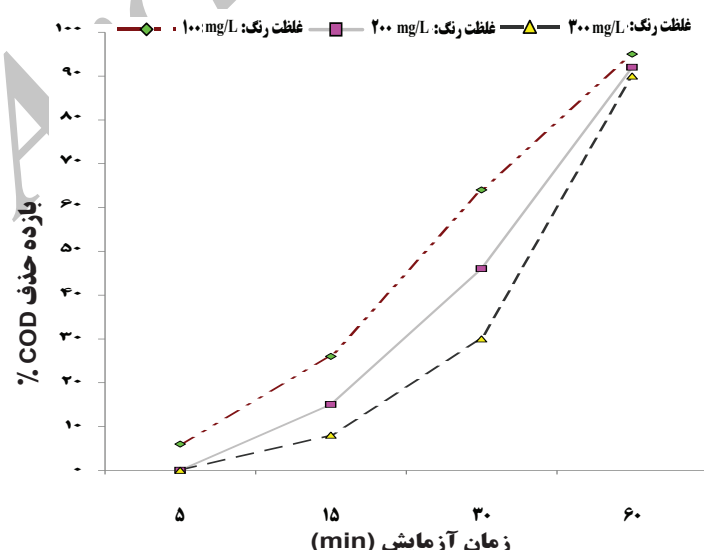
زمان  $30\text{ min}$  و در غلهٔ رنگ، تا  $50\%$  راندمان حذف به دست می‌آید و در پایان زمان  $60\text{ min}$  و در شرایط بهینه فرایند، حداقل حذف رنگ و COD به دست می‌آید. همچنین مشاهده شد که برای رسیدن به بازده حذف یکسان در غلهٔ رنگ، زمان مورد نیاز افزایش می‌یابد.

#### تأثیر زمان واکنش

شکل ۹ و ۸ تاثیر زمان واکنش بر کارایی حذف رنگ و COD در  $pH=4$ ، اختلاف پتانسیل  $7\text{V}$ ، غلهٔ یون‌های آهن  $5\text{mg/L}$  و غلهٔ رنگ  $100\text{, }200\text{ و }300\text{ mg/L}$  را نشان می‌دهد. بر این اساس، با افزایش زمان واکنش، کارایی فرایند افزایش می‌یابد. همان طور که مشاهده می‌شود، در زمان‌های کمتر از  $15\text{ min}$  میزان حذف رنگ بسیار پایین است اما با گذشت زمان و در نتیجه تولید بیشتر رادیکال‌های هیدروکسیل، میزان حذف رنگ به طور چشم‌گیری افزایش می‌یابد، به طوری که در بیشتر حالات آزمایش بعد از گذشت

#### بحث

اکسیداسیون الکتروشیمیایی فاضلاب حاوی رنگ RB19 به وسیله فرایند الکتروفنتون تحت شرایط مختلف آزمایش به



شکل ۹: تاثیر زمان واکنش بر کارایی حذف COD

(شرایط آزمایش:  $pH=4$ ، اختلاف پتانسیل  $7\text{V}$ ، غلهٔ یون‌های آهن  $5\text{mg/L}$  و غلهٔ رنگ  $100\text{, }200\text{ و }300\text{ mg/L}$ )

chiou و همکاران حذف رنگ Reactive Black5 به وسیله این فرایند بررسی شد و pH بهینه برابر ۳ به دست آمد و با افزایش pH راندمان فرایند کاهش یافت و مشخص گردید که راندمان فرایند در pH های اسیدی نسبت به pH های قلیایی بسیار بالاتر است (۳۷و۳). با افزایش غلظت رنگ، میزان مصرف رقابتی رادیکال‌های هیدروکسیل به وسیله محصولات میانی تولید شده بیشتر است، بنابراین کارایی فرایند کاهش می‌یابد (۳). در این مطالعه مشخص شد که با افزایش غلظت رنگ، زمان مورد نیاز برای حذف درصد مشخصی از رنگ نیز افزایش می‌یابد به طوری که در غلظت‌های پایین رنگ (۱۰۰mg/L) و در شرایط بهینه فرایند، در مدت زمان min ۴۵ می‌توان به بازده حذف رنگ بالای ۸۰٪ دست یافت اما در غلظت‌های بالا (۳۰۰mg/L)، در پایان min ۶۰ زمان واکنش، همین میزان حذف رنگ به دست می‌آید. نتیجه مطالعه zhous و همکاران که در آن حذف Methyl Red به وسیله فرایند الکترووفتون کارایی بررسی شده بود نشان داد که با افزایش غلظت رنگ، کارایی فرایند کاهش می‌یابد (۳). این در حالی است که در مطالعه Acid Yellow 36 Gonzalez و همکاران که حذف رنگ به وسیله فرایند الکترووفتون بررسی گردید، مشخص شد که افزایش غلظت رنگ، تاثیر ناچیزی در کارایی فرایند دارد و در زمان min ۴۸، حداقل ۹۸٪ حذف رنگ به دست آمد (۲). زمان واکنش یکی از عوامل موثر در انجام فرایندهای اکسیداسیون پیشرفت‌ه است. با گذشت زمان میزان محصولات حد وسط ناشی از تجزیه هیدروژن پراکساید بیشتر شده و از طرفی با ایجاد اختلاط در محیط آزمایش، شناسن تماس یون‌های آهن با محصولات حد وسط تجزیه هیدروژن پراکساید افزایش یافته و در نهایت روند تولید رادیکال هیدروکسیل در محیط افزایش و بنابراین بازده فرایند بهبود می‌یابد (۱۰). در این مطالعه مشخص شد که میزان حذف رنگ و COD در زمان‌های min ۶۰ به حداقل خود می‌رسد و در مدت زمان min ۳۰ به طور متوسط بازده حذف ۴۰٪-۶۰٪ است. همچنین با افزایش غلظت رنگ، زمان مورد نیاز برای رسیدن به درصد حذف مشابه رنگ بیشتر است. غلظت بهینه یون‌های آهن نقش اصلی در عوامل فتوئونی را دارد. Fe<sup>2+</sup> معمولاً به عنوان یک ماده کاتالیزور به محلول افزوده می‌شود. با افزایش اختلاف

منظور ارزیابی عملکرد فرایند الکترووفتون در حذف رنگ و COD از محلول‌های آبی و یافتن شرایط بهینه حذف رنگ و COD به وسیله این فرایند مورد مطالعه قرار گرفت. فرایند الکترووفتون به دلیل سادگی و عدم نیاز به تجهیزات ویژه و کارایی بالا در حذف آلاینده‌های آلی، به عنوان یک جایگزین عالی جهت تخریب و تجزیه آلاینده‌های مقاوم و سمی موجود در فاضلاب‌ها مطرح است. در فرایند الکترووفتون کترنل مقدار تولید رادیکال‌های هیدروکسیل بهتر صورت می‌گیرد و محصولات نهایی ناشی از تجزیه آلاینده‌ها تنها آب و اکسیژن است و به دلیل عدم استفاده از ماده شیمیایی خطرناک، این فرایند به عنوان یک عامل سبز و دوست‌دار محیط زیست شناخته شده است (۹و۳). در این مطالعه میزان pH بهینه برابر با ۴ به دست آمد. مقدار pH در اکسیداسیون ترکیبات آلی و تولید رادیکال‌های هیدروکسیل به طور مستقیم و غیر مستقیم اثر می‌گذارد و کارایی اکسیداسیون را تحت تاثیر قرار می‌دهد. در pH های پایین تر از ۲/۵، تشکیل H<sub>2</sub>O<sub>2</sub><sup>2+</sup> که با Fe(OH)<sup>2+</sup> به آرامی واکنش می‌دهد باعث کاهش مقدار رادیکال‌های OH<sup>0</sup> شده و در نتیجه بازدهی فرایند کاهش می‌یابد. در این شرایط، هیدروژن پراکساید تولید شده به روش الکتریکی، یک بار مثبت (پروتون) جذب نموده و یون اکسونیوم (H<sub>3</sub>O<sub>2</sub><sup>+</sup>) تشکیل می‌گردد که پایدارتر از H<sub>2</sub>O<sub>2</sub> است و میزان واکنش آن با یون‌های فروس کاهش یافته و در نتیجه کاهش تولید OH<sup>0</sup> و کارایی فرایند مشاهده می‌شود (۱۶). در pH های قلیایی نیز Fe<sup>3+</sup> به Fe<sup>2+</sup> تبدیل شده و به صورت Fe(OH)<sub>3</sub> رسوب نموده و از چرخه کاتالیستی خارج می‌شود. در این حالت، انعقاد الکتریکی نیز به طور هم‌زمان با اکسیداسیون اتفاق می‌افتد. بنابراین، pH نه تنها در تولید H<sub>2</sub>O<sub>2</sub> موثر است، بلکه تولید گونه‌های کاتالیست آهن فروس را نیز کترنل می‌نماید (۳). راندمان کلی فرایند در pH های اسیدی نسبت به pH های قلیایی بالاتر است. در غلظت‌های بالاتر رنگ، اختلاف میزان حذف رنگ و COD در pH های قلیایی نسبت به pH های اسیدی کاهش کمتری را نشان می‌دهد که عامل آن مربوط به ویژگی‌ها و ساختار شیمیایی رنگ ۱۹ است (۱). در مطالعه zhous و همکاران که حذف Methyl Red به وسیله فرایند الکترووفتون بررسی گردید و همچنین در مطالعه

محلول است. اختلاف پتانسیل الکتریکی  $V$  ۲۰ برای غلظت رنگ تا  $mg/L$  ۱۰۰ و اختلاف پتانسیل  $V$  ۳۰ برای غلظت رنگ  $mg/L$  به بالا، زمان واکنش  $min$  ۶۰، غلظت  $L/0.5/mg$  به آهن II و pH مناسب جهت بالاترین درصد حذف برابر ۴ به دست آمد. در این شرایط، حذف ۱۰۰٪ رنگ و COD ۹۵٪ حاصل شد.

### تشکر و قدردانی

موضوع این مقاله به عنوان طرح تحقیقاتی به شماره ۸۹۵۳ در معاونت تحقیقات و فناوری دانشگاه علوم پزشکی کرمان به تصویب رسیده است. از مرکز تحقیقات بهداشت محیط دانشکده بهداشت کرمان که با انجام این تحقیق موافقت نمودند، تشکر می‌گردد.

### منابع

- Chen TY, Kao CM, Hong A, Lin CE, Liang SH. Application of ozone on decolorization of Reactive dyes-Orange13 and Blue 19. Desalination. 2009;249(3):1238-42.
- Cruz-Gonzalez K, Torres-Lopez O, Garcia-Leon A, Guzman-Mar JL, Reyes LH, Hernandez-Ramirez A, et al. Determination of optimum operating parameters for Acid Yellow 36 decoloration by electro-Fenton process using BDD cathode. Chemical Engineering Journal. 2010;160(1):199-206.
- Zhou M, Yu Q, Lei L, Barton G. Electro-Fenton method for the removal of methyl red in an efficient electrochemical system. Separation and Purification Technology. 2007;57(2):380-87.
- Pekakis PA, Xekoukoulakis NP, Mantzavinos D. Treatment of textile dyehouse wastewater by  $TiO_2$  photocatalysis. Water Research. 2006; 40(6):1276-86.
- De Souza SM, Bonilla KA, de Souza AA. Removal of COD and color from hydrolyzed textile Azo dye by combined ozonation and biological treatment. Journal of Hazardous Materials. 2010;179(1-3):35-42.

پتانسیل نیز میزان تولید و قدرت اکسیدکنندگی  $H_2O_2$  تولید شده به روش الکتریکی در کاتد افزایش می‌یابد(۸). نتایج مطالعه نشان داد که در pHهای اسیدی میزان یون آهن کمتر و در pHهای قلیایی میزان یون آهن بیشتری برای رسیدن به راندمان مشابه نیاز است بنابراین با افزایش pH، میزان یون آهن مورد نیاز بیشتر است. همچنین در اختلاف پتانسیل پایین میزان یون آهن بیشتر و در اختلاف پتانسیل بالاتر، میزان یون آهن کمتری برای رسیدن به راندمان مشابه مورد نیاز است. در برخی شرایط آزمایش غلظت یونهای آهن  $L/0.3 mg/5$  بسیار موثرتر و بازده حذف بالاتری نسبت به غلظت  $L/0.5 mg/5$  یونهای آهن دارند که به دلیل تاثیر معکوس یونهای آهن در اثر تشکیل کمپلکس با رادیکالهای هیدروکسیل و کاهش میزان رادیکالهای آزاد و کاهش بازده حذف رنگ است. بنابراین غلظت مناسب  $Fe^{2+}$  پارامتر تاثیرگذاری در فرایند الکتروفنتون است. در پژوهشی که Reactive Black 5 chiou و همکاران در حذف رنگ ۳۰ بازده فرایند را کاهش می‌کنند این فرایند انجام دادند، مشخص شد که غلظت یونهای آهن عامل تاثیرگذاری در کارایی فرایند است و با افزایش یونهای آهن  $L/0.2-0.3 mg/5$ ، افزایش حذف رنگ مشاهده شد اما افزایش بیشتر یونهای آهن تا  $L/0.3 mg/5$  بازده فرایند را کاهش داد(۱۷). در مطالعه Wang و همکاران در حذف رنگ Acid Red 14 و مطالعه Panizza و همکاران در حذف رنگهای سنتیک، کارایی فرایند با افزایش یونهای آهن تا غلظت معینی افزایش یافت، اما با افزایش بیشتر غلظت یونهای آهن در محیط، کارایی فرایند در معدنی‌سازی (کاهش COD) کاهش یافت(۱۶). در مطالعه Martinez و همکاران که حذف علفکش Chlobromuron به وسیله این فرایند بررسی شد و مطالعه Wang و همکاران که حذف رنگ از فاضلاب واقعی رنگرزی بررسی شده بود، ثابت گردید که با افزایش شدت جریان، میزان معدنی‌سازی فرایند و میزان حذف TOC و رنگ افزایش می‌یابد(۸ و ۹).

### نتیجه گیری

در شرایط بهینه آزمایش، فرایند الکتروفنتون قادر به حذف تمام رنگ موجود در محیط آزمایش و معدنی‌سازی نهایی

- 6.Hsieh LL, Kang HJ, Shyu HL. Optimization of a ultrasound-assisted nanoscale Fe/Fenton process for dye wastewater through a statistical experiment design method. Environmental Informatics Archives. 2007;5:664-73.
- 7.Ghaneian M, Ehrampoush MH, Ghanizadeh Gh, Dehvary M, Abootoraby M, Jasemizad T. Application of solar irradiation /  $K_2S_2O_8$  photochemical oxidation process for the removal of Reactive Blue 19 dye from Aqueous Solutions. Iranian Journal of Health and Environment. 2010;3(2):165-76 (in Persian).
- 8.Wang C, Hu JL, Chou WL, Kuo YM. Removal of color from real dyeing wastewater by Electro-Fenton technology using a three-dimensional graphite cathode. Journal of Hazardous Materials. 2008;152(2):601-606.
- 9.Martinez SS, Bahena CL. Chlorbromuron urea herbicide by electro-Fenton reaction in aqueous effluents. Water Research. 2009;43(1):33-40.
- 10.Ozcan A, Sahin Y, Koparal AS, Oturan MA. A comparative study on the efficiency electro-Fenton process in the removal of prophan from water. Applied Catalysis B: Environmental. 2009;89(3-4):620-6.
- 11.Virkutyte J, Jegatheesan V. Electro-Fenton, hydrogenotrophic and  $Fe^{+2}$  ions mediated TOC and nitrate removal from aquaculture system: Different experimental strategies. Bioresource Technology. 2009;100(7):1289-97.
- 12.Zhang H, Fei C, Zhang D, Tang F. Degradation of 4-nitrophenol in aqueous medium by electro-Fenton method. Journal of Hazardous Materials. 2007;145(1-2):227-32.
- 13.Pimentel M, Oturan N, Dezotti M, Oturan MA. Phenol degradation by advanced electrochemical oxidation process electro-Fenton using a carbon felt cathode. Applied Catalysis B: Environmental. 2008; 83(1-2): 140-49.
- 14.Oturan N, Trajkovska S, Oturan MA, Couderchet M, Aaron JJ. Study of the toxicity of diuron and its metabolites formed in aqueous medium during application of the electrochemical advanced oxidation process electro-Fenton. Chemosphere. 2008;73(9):1550-56.
- 15.Rajkumar D, Song BJ, Kim JG. Electrochemical degradation of Reactive Blue 19 in chloridemedium for the treatment of textile dyeing wastewater with identification of intermediate compounds. Dyes and Pigments. 2007;72(1):1-7.
- 16.Panizza M, Cerisola G. Electro-Fenton degradation of synthetic dyes. Water Research. 2009;43(2):339-44.
- 17.Chiou CS, Chang C, Shie JL, Liu CC, Li YS. Decoloration of reactive Black 5 in aqueous solution by electro-Fenton reaction. Journal of Environmental Engineering and Management. 2006;16(4):243-48.
- 18.Wang A, Qu J, Ru J, Liu H, Ge J. Mineralization of an Azo dye Acid red 14 by electro-Fenton's reagent using an activated carbon fiber cathode. Dyes and Pigments. 2005;65(3):227-33.
- 19.Ghanizadeh Gh, Asgari G. Removal of Methylene Blue dye from synthetic wastewater with bone char. Iranian Journal of Health and Environment. 2009;2(2):104-13 (in Persian).
- 20.Masombaigi H, Rezaee A, Nasiri A. Photocatalytic degradation of Methylene Blue using  $ZnO$  nano-particles. Iranian Journal of Health and Environment. 2009;2(2):188-95 (in Persian).
- 21.Naddafi K, Nabizadeh Nodehi R, Jahangiri rad M. Removal of Reactive Blue 29 dye from Water by single-Wall carbon nanotubes. Iranian Journal of Health and Environment. 2011;3(4):359-68 (in Persian).
- 22.Maleki A. Comparison of photolysis and sonolysis processes for degradation of Reactive Red 198. Iranian Journal of Health and Environment. 2010;3(2):153-64 (in Persian).
- 23.Mehrabi SH, Alavi moghaddam MR, Hashemi SH. Removal of Reactive Blue 19 by adding polyaluminum chloride to sequencing batch reactor System. Iranian Journal of Environmental Health Science & Engineering. 2010;7(1):63-70.
24. APHA, AWWA, WEF. Standard Methods for the Examination of Waters and Wastewaters. 21st ed. Washington, DC: American Public Health Association (APHA); 2005.

## **Evaluation of Electro-Fenton Process Performance for COD and Reactive Blue 19 Removal from Aqueous Solution**

**\*Mohammad Malakootian<sup>1</sup>, Mahdi Asadi<sup>1</sup>, Amir Hossein Mahvi<sup>2</sup>**

<sup>1</sup>Department of Environmental Health Engineering, School of public Health and Environmental Research Center, Kerman University of Medical Science, Kerman, Iran

<sup>2</sup>Department of Environmental Health Engineering, School of public Health, Tehran University of Medical Science, Tehran, Iran

Received: 06 April 2011 ; Accepted: 18 June 2012

### **ABSTRACT**

**Background and Objectives:** Synthetic dyes represent one of the largest groups of pollutants in wastewater of dying industries. Discharging these wastewaters into receiving streams not only affects the aesthetic but also reduces photosynthetic activity. Electrochemical advanced oxidation processes such as Electro-Fenton process are low operational and have high mineralization degree of pollutants. In this study, we investigated affective factors in this process to determine the optimum conditions for dye and COD removal from aqueous solutions containing Reactive Blue 19 dye.

**Materials and Methods:** Synthetic samples containing Reactive Blue 19 dye were prepared by dissolving dye powder in double distilled water. and the solution prepared was transferred into pilot electrochemical cell having two anode and cathode electrode made of iron and carbon. Electro-Fenton process was began by adding of  $\text{Fe}^{2+}$  ions and establishing electrical potential difference. After testing and at specified time intervals, each sample was collected from the pilot cell, and process performance was evaluated through measuring dye concentration and COD.

**Results:** Based on the results obtained, optimum conditions of Electro-Fenton process for dye and COD removal was determined. Accordingly, potential difference of 20 volt for dye concentration up to 100 mg/L and potential difference of 30 volt for dye concentration of more than 200 mg/L, reaction time 60 minutes, 0.5 mg/L of  $\text{Fe}^{2+}$  concentration and suitable pH for the maximum dye removal efficiency equaled 4 respectively. Under such conditions, the dye and COD removal was 100 and 95% respectively.

**Conclusion:** Based on the results obtained, it was revealed that Electro-Fenton process has significant ability in not only dye removal but also in COD removal. Accordingly, it was found that the effective parameters in Electro-Fenton process for removal Reactive Blue19 dye are electric potential difference, concentration of iron ions and electrolysis time.

**Keywords:** Electro-Fenton process, Avanced oxidation, Reactive Blue19 dye, Electrical Potential difference

---

**\*Corresponding Author:** m.malakootian@yahoo.com  
**Tel:** +98 341 3205074 , **Fax:** +98 341 3205128